

## ПЕРЕРАСПРЕДЕЛЕНИЕ СТОХАСТИЧЕСКОЙ КИНЕТИЧЕСКОЙ ЭНЕРГИИ В АНСАМБЛЯХ НЕИДЕНТИЧНЫХ ЗАРЯЖЕННЫХ ЧАСТИЦ

© 2020 г. О. С. Ваулина<sup>a, b, \*</sup>, С. В. Кауфман<sup>a</sup>

<sup>a</sup> *Московский физико-технический институт (государственный университет), Долгопрудный, Московская обл., Россия*

<sup>b</sup> *Объединенный институт высоких температур РАН, Москва, Россия*

\*e-mail: [olga.vaulina@bk.ru](mailto:olga.vaulina@bk.ru)

Поступила в редакцию 16.01.2020 г.

После доработки 25.02.2020 г.

Принята к публикации 20.03.2020 г.

Исследуются процессы энергетического обмена в системах неидентичных взаимодействующих частиц (имеющих различные размеры, массы и заряды) с пространственно-неоднородным распределением источников стохастической кинетической энергии. Рассмотрена теоретическая модель для анализа энергетического баланса в таких системах. Представлены аналитические соотношения, описывающие перераспределение стохастической кинетической энергии между двумя заряженными частицами. Предложенные соотношения проверены путем численного моделирования задачи для частиц с кулоновским взаимодействием. Выполнен численный анализ процессов перераспределения стохастической энергии в двумерных ансамблях с разделенными фракциями частиц разных размеров и температур. Результаты настоящей работы применимы для систем с любым типом попарных взаимодействий и могут быть полезны для анализа энергетического обмена в неоднородных системах, которые представляют интерес в физике плазмы, физике полимеров и коллоидных систем.

*Ключевые слова:* комплексная плазма, процессы энергетического обмена, стохастическая кинетическая энергия, неидентичные заряженные частицы

DOI: 10.31857/S0367292120080107

### 1. ВВЕДЕНИЕ

Исследования процессов энергетического обмена в неоднородных системах взаимодействующих частиц вызывает значительный интерес в различных областях науки и техники (физике плазмы, биологии, физике полимеров и т.д.) [1–5]. Ряд актуальных вопросов касается особенностей физических характеристик в ансамблях неидентичных частиц, имеющих различный характер парного взаимодействия, заряды, размеры, диэлектрическую проницаемость и т.д. [1–8].

Пылевая (комплексная) плазма представляет собой ионизованный газ, содержащий заряженные частицы вещества микронных размеров (пыль). Такая плазма широко распространена в природе и образуется в ряде технологических процессов [1–3]. Большинство теоретических и численных работ, посвященных исследованию свойств пылевой плазмы, имеют дело с идентичными пылевыми частицами, поскольку такие системы легче поддаются математическому описанию и более просты для понимания. Тем не менее, в реальных условиях пылевые структуры редко содержат идентичные частицы. Даже в

случае лабораторных исследований монодисперсные пылевые частицы могут иметь различную величину заряда и/или стохастической кинетической энергии в зависимости от их пространственного положения [1, 2].

Большинство лабораторных исследований пылевой плазмы проводится в газовых разрядах различных типов [9–12]. Обычно, в центре газоразрядных камер наблюдается некоторое превышение концентрации ионов плазмы над концентрацией ее электронной компоненты [13]. Данное обстоятельство приводит к формированию эффективных ловушек для отрицательно заряженных частиц пыли [1, 2]. Стохастическая кинетическая энергия пылевых частиц (их “кинетическая температура”) в таких условиях может достигать ~0.2–5 эВ, что значительно выше температуры окружающего их газа. Механизмы такого “аномального разогрева” пылевых частиц обычно связывают с временными и/или пространственными изменениями их зарядов, или положения в объеме неоднородной плазмы [14–19]. Так как заряд пылевой частицы определяется локальными параметрами плазмы в ее окрестности, мощность источников подкачки энергии, а,

соответственно, и “кинетическая температура” частицы могут существенно изменяться в пространстве [1, 2]. Источниками неравномерного нагрева системы частиц также могут являться неоднородное распределение температуры окружающего газа, лазерное излучение, используемое для диагностики и т.д.

Флуктуации зарядов пылевых частиц, вызванные случайной природой ионных и электронных токов, заряжающих эти частицы, присущи любым типам плазмы [1, 2]. В условиях лабораторной газоразрядной плазмы дополнительная стохастическая кинетическая энергия,  $\Delta T_f$ , для отдельной пылевой частицы, связанная с этими флуктуациями может быть записана в виде [1, 14–16]

$$\Delta T_f \approx eQ\alpha^2 E^2 / (2Mv\nu). \quad (1)$$

Здесь  $Q$ ,  $M$  и  $v$  – заряд, масса и коэффициент трения частицы,  $\alpha \approx 0.5$  – параметр, отвечающий за амплитуду флуктуаций их зарядов,  $\nu \propto a_d$  – характерная частота этих флуктуаций для частицы радиусом  $a_d$ , а  $E$  – напряженность электрического поля в анализируемой системе, необходимая для равновесного положения пылевой частицы в поле действующих сил. В условиях микрогравитации величина  $\Delta T_f$  определяется флуктуациями зарядов окружающих частиц пылевого облака,  $E \cong E_{int} \sim Q/d^2$ , где  $d$  – среднее расстояние между пылевыми частицами. Для наземных лабораторных экспериментов, где основной внешней неэлектрической силой является сила тяжести:  $E \cong E_{int} + E_{ext}$ , где  $E_{ext} \cong gM/Q$ .

Отсутствие простых теоретических моделей для описания энергетического баланса в системах неидентичных заряженных частиц с неоднородным распределением тепловых источников (источников их стохастической кинетической энергии) затрудняет анализ процессов передачи тепла в реальных системах.

В настоящей работе речь пойдет о механизме переноса тепла, который не связан с процессами массопереноса, и возникает за счет передачи стохастических колебаний отдельных частиц вблизи их равновесного положения, что не возможно без взаимодействия между частицами системы. Особенности энергетического обмена в ансамблях неидентичных частиц рассматриваются для условий близких к условиям лабораторных экспериментов в газоразрядной плазме. Представлены аналитические соотношения для случая двух взаимодействующих частиц, которые могут быть полезны для анализа качественной картины энергетического обмена между частицами в протяженных системах.

Рассмотрены условия перераспределения стохастической кинетической энергии в двумерных ансамблях с двумя разделенными фракциями неидентичных частиц разных размеров и темпе-

ратур. Причины формирования отдельных фракций для частиц разных размеров обычно связывают с наличием термофоретических сил,  $F_T = C_T a_d^2 \nabla T_n$ , или сил ионного увлечения,  $F_I = C_I a_d^2 u_i$ . Здесь  $a_d$  – радиус частицы,  $\nabla T_n$  – градиент температуры нейтрального газа (который направлен в сторону уменьшения  $T_n$ ),  $u_i$  – дрейфовая скорость ионов (которая направлена по внешнему электрическому полю), а коэффициенты  $C_T$  и  $C_I$  зависят от внешних условий и параметров окружающей плазмы [1, 20–22]. Указанные силы ( $F_I, F_T$ ) зависят от размера частицы иным образом, чем сила электрического поля,  $F_E \approx QE \propto a_d$ , действующая на заряженную пылевую частицу. За счет направления электрических полей и градиентов температур газа в обычных условиях газоразрядных камер обе упомянутых силы ( $F_I, F_T$ ) будут давать дополнительный вклад в баланс сил, ослабляющий воздействие внешних электрических сил  $F_E$  на пылевую частицу [13]. И этот вклад будет тем больше, чем больше размер пылевых частиц. Таким образом, в случае системы, состоящей из двух фракций частиц, более крупные частицы будут располагаться на оболочке пылевого облака.

В настоящей работе внешнее электрическое поле полагалось линейным. Для представленных здесь теоретических и численных расчетов мы полагали, что плотность материала,  $\rho$ , одинакова для различных фракций частиц,  $\rho_1 = \rho_2$ , т.е. отношение их масс  $M_1/M_2 \propto (a_{d1}/a_{d2})^3$ . Заряды частиц задавались согласно приближению ограниченных орбит (Orbit Motion Limited):  $Q_i \propto a_{di}$  [1, 2]; а их коэффициенты трения согласно свободномолекулярному приближению:  $\nu_i \propto a_{di}^2/M_i$  [23]. С учетом принятых приближений отношение величин дополнительной энергии (1) за счет флуктуаций зарядов пылевых частиц разного размера ( $a_{d1}, a_{d2}$ ) можно оценить как:  $\Delta T_f^1/\Delta T_f^2 \sim (d_2/d_1)^4$  для  $E_{int} \gg E_{ext}$ ; или  $\Delta T_f^1/\Delta T_f^2 \sim (a_{d1}/a_{d2})^2$  для  $E_{int} \ll E_{ext}$ , если основной действующей неэлектрической силой в системе является сила тяжести.

## 2. ДВЕ ЧАСТИЦЫ (ОСНОВНЫЕ СООТНОШЕНИЯ)

Рассмотрим систему линеаризованных уравнений движения, описывающих отклонения двух частиц (с зарядами  $Q_{1(2)}$ , массой  $M_{1(2)}$  и попарным взаимодействием) от их положения равновесия ( $\xi_1, \xi_2$ ) в поле внешних сил под действием случайной силы  $F_{b1(2)}$ , которая является источником стохастической (тепловой) энергии частиц:

$$M_1 \frac{d^2 \xi_1}{dt^2} = -v_1 M_1 \frac{d \xi_1}{dt} + a_1 \xi_1 + b \xi_2 + F_{b1}, \quad (2a)$$

$$M_2 \frac{d^2 \xi_2}{dt^2} = -v_2 M_2 \frac{d \xi_2}{dt} + a_2 \xi_2 + b \xi_1 + F_{b2}, \quad (26)$$

где  $v_{1(2)}$  – коэффициенты трения частиц за счет их столкновений с нейтралами окружающего газа, а коэффициенты  $a_{1(2)}$ ,  $b$  зависят от физики решаемой задачи и рассматриваемой степени свободы.

Остановимся на случае вертикальной конфигурации частиц, см. рис. 1. Тогда для их вертикальных смещений  $\xi_{1(2)} = z_{1(2)}$ ; коэффициент  $a_{1(2)} = -(Q_{1(2)} \beta_z - F)$  и  $b = -F$ . Для радиальных смещений  $\xi_{1(2)} = r_{1(2)}$ ;  $a_{1(2)} = -(Q_{1(2)} \beta_r - F/d)$  и  $b = F/d$ . Здесь  $\beta_r$  и  $\beta_z$  – величины градиентов электрического поля в радиальном и вертикальном направлении, соответственно,  $d$  – расстояние между частицами,  $F$  – сила взаимодействия между частицами, а  $F'$  ее производная в направлении  $z$ . Для кулоновского взаимодействия:  $F = Q_1 Q_2 / d^2$ ;  $F' = -2Q_1 Q_2 / d^3$ .

Задача об устойчивой конфигурации двух идентичных частиц, взаимодействующих с различными типами потенциалов, рассматривалась в работах [24–27]. Было показано, что устойчивость их вертикальной конфигурации определяется соотношением  $\beta_r > \beta_z$ , в обратном случае ( $\beta_r < \beta_z$ ) – формируется горизонтальная конфигурация частиц. Для двух частиц с разной массой для условий наземных экспериментов (где нельзя пренебречь силой тяжести) условия баланса сил дают [8]

$$g(M_1 Q_2 - M_2 Q_1) + Q_1 Q_2 b_z d = (Q_1 + Q_2) F. \quad (3)$$

При этом условии формирования неустойчивости в такой системе можно записать как [8]:

$$\begin{aligned} Q_1 Q_2 \beta_r &< (Q_1 + Q_2) F / d = \\ &= Q_1 Q_2 \beta_z + g(M_1 Q_2 - M_2 Q_1) / d. \end{aligned} \quad (4)$$

Для  $M_{1(2)} \equiv M$  и  $Q_{1(2)} \equiv Q$  данное условие приобретает вид  $\beta_r < \beta_z$ , в соответствие с критерием, изложенным выше. Исследование условий развития неустойчивостей (4) для различных параметров задачи представлены в работе [8].

Для поиска корреляторов скоростей и смещений частиц в системе (2a)–(2б) отметим, что корреляторы случайной силы  $F_{b1(2)}$  подчиняются уравнениям:  $\langle F_{b1} \rangle = \langle F_{b2} \rangle \equiv 0$ ,  $\langle F_{b1} F_{b2} \rangle = 0$ ,  $\langle F_{b1} V_2 \rangle = \langle F_{b2} V_1 \rangle \equiv 0$ ,  $\langle F_{b1} \xi_2 \rangle = \langle F_{b2} \xi_1 \rangle \equiv 0$ ,  $\langle F_{b1} \xi_1 \rangle = \langle F_{b2} \xi_2 \rangle \equiv 0$ ,  $\langle F_{b1} V_2 \rangle = \langle F_{b2} V_1 \rangle \equiv 0$ . Здесь и далее угловые скобки  $\langle \rangle$  обозначают усреднение по времени при  $t \rightarrow \infty$ . При движении частиц по ограниченному траекториям:  $\langle \xi_1 V_1 \rangle = \langle \xi_2 V_2 \rangle \equiv 0$ , а  $\langle V_{1(2)} F_{b1(2)} \rangle = v T_{1(2)}^0$ , где  $T_{1(2)}^0$  – температура тепловых источников [28–31]. Тогда уравнения для корреляторов можно представить в виде [30, 31]

$$a_{1(2)} \langle \xi_{1(2)}^2 \rangle + b \langle \xi_2 \xi_1 \rangle + T_{1(2)}^0 + \delta T_{1(2)} = 0, \quad (5a)$$

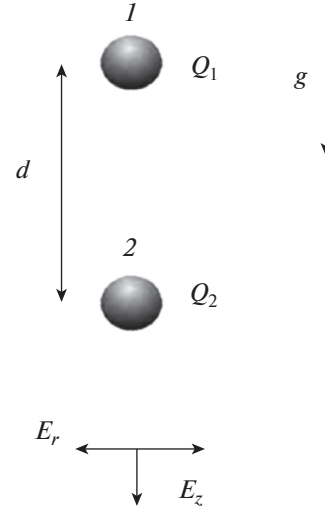


Рис. 1. Вертикальная конфигурация двух взаимодействующих частиц в электрическом поле ловушки  $E = E(z, r)$  с цилиндрической симметрией.

$$\begin{aligned} -v_{1(2)} M_{1(2)} \langle \xi_{2(1)} V_{1(2)} \rangle + a_{1(2)} \langle \xi_2 \xi_1 \rangle + \\ + b \langle \xi_{2(1)}^2 \rangle + M_{1(2)} \langle V_1 V_2 \rangle = 0, \end{aligned} \quad (5б)$$

$$v_{1(2)} \delta T_{1(2)} = b \langle \xi_{2(1)} V_{1(2)} \rangle, \quad (5в)$$

$$\begin{aligned} -v_1 M_1 \langle V_1 V_2 \rangle - v_2 M_2 \langle V_1 V_2 \rangle + \\ + a_1 \langle \xi_1 V_2 \rangle + a_2 \langle \xi_2 V_1 \rangle = 0, \end{aligned} \quad (5г)$$

$$\langle \xi_2 V_1 \rangle + \langle \xi_1 V_2 \rangle = 0. \quad (5д)$$

Здесь  $T_1 = T_1^0 + \delta T_1$ ,  $T_2 = T_2^0 + \delta T_2$ , где  $T_1, T_2$  – температура частиц для равновесного состояния системы,  $T_1^0, T_2^0$  – энергия источников (которая при численном моделировании задачи соответствует их заданной/начальной температуре), а  $\delta T_1, \delta T_2$  – приращение температуры в процессе установления равновесия.

Обозначим  $\Delta T = T_2^0 - T_1^0$ , тогда

$$\delta T_1 = b^2 \Delta T / (C v_1), \quad (6a)$$

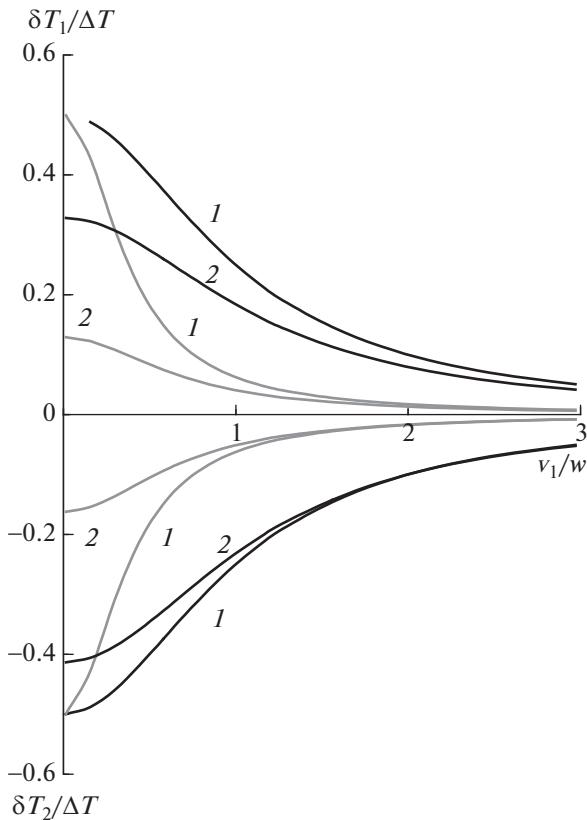
$$\delta T_2 = -b^2 \Delta T / (C v_2), \quad (6б)$$

где

$$\begin{aligned} C = (a_2 M_1 - a_1 M_2)^2 / (v_1 M_1 M_2 + v_2 M_2 M_1) + \\ + b^2 (v_1 + v_2) / (v_1 v_2) - (a_2 v_1 M_1 + a_1 v_2 M_2). \end{aligned} \quad (7)$$

Для двух идентичных частиц ( $Q_{1(2)} = Q$ ,  $M_{1(2)} = M$ ,  $v_{1(2)} = v$ ,  $a_{1(2)} = a$ ) решение системы уравнений (5a)–(5д) для их вертикальной конфигурации можно записать как [8]

$$\delta T_{1(2)} = \pm b^2 \Delta T / (2\{b^2 - v^2 M a\}). \quad (8)$$



**Рис. 2.** Зависимости  $\delta T_1/\Delta T$  и  $\delta T_2/\Delta T$  от  $v_1/\omega$  в вертикальном (черные линии) и радиальном (серые линии) направлениях для двух частиц с кулоновским взаимодействием при  $\beta_r/\beta_z = 4$ ,  $T_1^0 < T_2^0$  для: 1 –  $M_1 = M_2$ ,  $d = 0.1$  см; 2 –  $M_2 = 2M_1$ ,  $d \approx 0.105$  см.

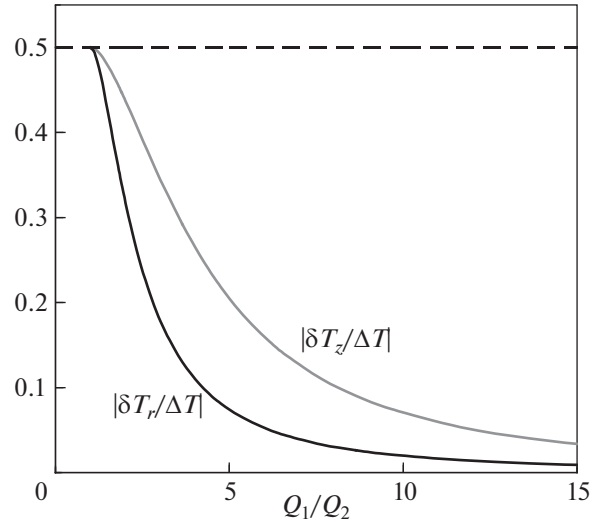
В этом случае  $\delta T_1 = -\delta T_2$ , а при  $b^2 \gg -v^2 Ma$  величина  $|\delta T_{1(2)}| \rightarrow |\Delta T|/2$ , т.е. энергия равномерно распределяется между частицами системы, а при  $v \rightarrow \infty$  величина  $|\delta T_{1(2)}| \rightarrow 0$ .

Иллюстрация зависимостей  $\delta T_1/\Delta T$  и  $\delta T_2/\Delta T$  от  $v_1/\omega$ , где  $\omega = (Q_1^2/d^3 M_1)^{1/2}$ , описывающая перераспределение энергии в вертикальном и радиальном направлениях, для двух частиц с кулоновским взаимодействием при  $g = 0$ ,  $\beta_r/\beta_z = 4$ ,  $T_1^0 < T_2^0$  показана на рис. 2.

В заключение данного раздела рассмотрим два частных случая для частиц равной массы  $M_{1(2)} = M$  при  $T_2^0 \neq T_1^0$ : (i)  $v_{1(2)} = v$ ,  $a_1 \neq a_2$ ; (ii)  $v_1 \neq v_2$ ,  $a_{1(2)} = a$ .

В первом случае ( $v_{1(2)} = v$ ,  $a_1 \neq a_2$ ) получим следующее уравнение баланса:

$$\delta T_{1(2)} = \pm b^2 \Delta T / (2\{b^2 - v^2 M(a_1 + a_2)/2 + (a_1 - a_2)^2/4\}). \quad (9)$$



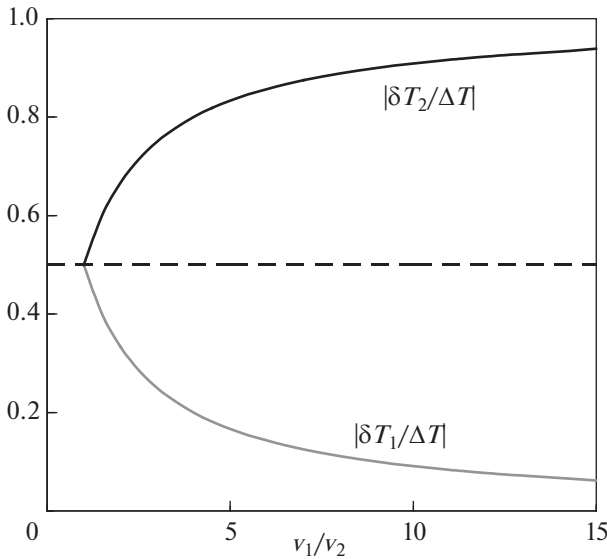
**Рис. 3.** Отношения  $|\delta T_z/\Delta T|$  и  $|\delta T_r/\Delta T|$  в зависимости от  $Q_1/Q_2$  для частиц с кулоновским взаимодействием, расположенными на расстоянии  $d \approx 0.1$  см.

При этом общая энергия системы будет сохраняться,  $\delta T_1 + \delta T_2 = 0$ , а при  $b^2 \gg -v^2 M(a_1 + a_2)$ , величина  $|\delta T_{1(2)}/\Delta T| \rightarrow (2 + (a_1 - a_2)^2/2b^2)^{-1}$ .

Отметим, что случай  $a_1 \neq a_2$  может реализоваться для пылевых частиц в плазме даже в случае их попарного взаимодействия, например, за счет разницы в зарядах частиц, или отличия градиентов внешнего поля в точке их равновесного положения. Данные обстоятельства определяются возможными пространственными изменениями параметров окружающей их плазмы (например, концентраций и температур ионов/электронов).

Учтем уравнение баланса сил (3) для двух частиц при  $Q_1 \neq Q_2$  и  $M_{1(2)} = M$  (для  $g = 0$ ). Тогда величина  $|\delta T_{1(2)}/\Delta T| \rightarrow 0$  при  $(Q_1/Q_2 - Q_2/Q_1)^2 \rightarrow \infty$ . Это связано с уменьшением сил взаимодействия в рассматриваемой системе с увеличением разницы между  $Q_1$  и  $Q_2$ , что является следствием условия баланса сил (3), необходимого для равновесного состояния системы. На рис. 3 показаны отношения  $\delta T_z/\Delta T$  и  $\delta T_r/\Delta T$  в зависимости от  $Q_1/Q_2$ , описывающие перераспределение энергии в вертикальном и радиальном направлениях, соответственно. Расчеты были выполнены при  $\beta_r/\beta_z = 4$  для частиц с кулоновским взаимодействием, расположенными на расстоянии  $d \approx 0.1$  см.

Рассмотрим второй случай:  $M_{1(2)} = M$ ,  $a_{1(2)} = a$ ,  $T_2^0 \neq T_1^0$ ,  $v_1 \neq v_2$ . Неравная величина коэффициентов трения,  $v_1 \neq v_2$ , в этом случае может возникать, например, за счет градиентов температур и/или давлений окружающего буферного газа.



**Рис. 4.** Зависимость  $|\delta T_1/\Delta T|$  и  $|\delta T_2/\Delta T|$  от  $v_1/v_2$  в вертикальном направлении для частиц с кулоновским взаимодействием, расположенными на расстоянии  $d \approx 0.1$  см.

Тогда для частиц с равными зарядами  $Q_{1(2)} \equiv Q$  получим уравнения баланса в виде

$$\delta T_1 = b^2 v_2 \Delta T / (v_1 + v_2) \{b^2 - v_1 v_2 Ma\}, \quad (10a)$$

$$\delta T_2 = -b^2 v_1 \Delta T / (v_1 + v_2) \{b^2 - v_1 v_2 Ma\}. \quad (10б)$$

Общая энергия системы не сохраняется:  $\delta T_1 + \delta T_2 \neq 0$ . При  $b^2 \gg -v_1 v_2 Ma$ :  $\delta T_1 + \delta T_2 \rightarrow \Delta T (v_2 - v_1) / (v_1 + v_2)$ . Поскольку  $\Delta T = T_2^0 - T_1^0$ , это означает, что при  $T_2^0 > T_1^0$  и  $v_1 > v_2$  – система будет терять энергию, в случае  $T_2^0 < T_1^0$  и  $v_1 > v_2$  – будет приобретать ее. Это связано с тем, что при меньших коэффициентах трения одной из частиц в рассматриваемой системе, она менее активно обменивается энергией с другой частицей. Легко увидеть, что диапазон изменений кинетической температуры всей системы при любых  $v_1$  и  $v_2$  будет варьироваться в пределах от  $T_2^0$  до  $T_1^0$ .

Зависимость  $|\delta T_1/\Delta T|$  и  $|\delta T_2/\Delta T|$  от  $v_1/v_2$  при  $\beta_r/\beta_z = 4$  для частиц с кулоновским взаимодействием, расположенными на расстоянии  $d \approx 0.1$  см, показана на рис. 4.

Предельные случаи для двух последних из рассмотренных задач ( $Q_1/Q_2 \gg 1$  и  $v_1/v_2 \gg 1$ ) не могут реализоваться в лабораторной практике. Тем не менее, иллюстрации, представленные на рис. 3, 4 качественно демонстрируют изменения величины перераспределяемой энергии в зависимости от параметров задачи.

### 3. РЕЗУЛЬТАТЫ ЧИСЛЕННОГО МОДЕЛИРОВАНИЯ И ИХ ОБСУЖДЕНИЕ

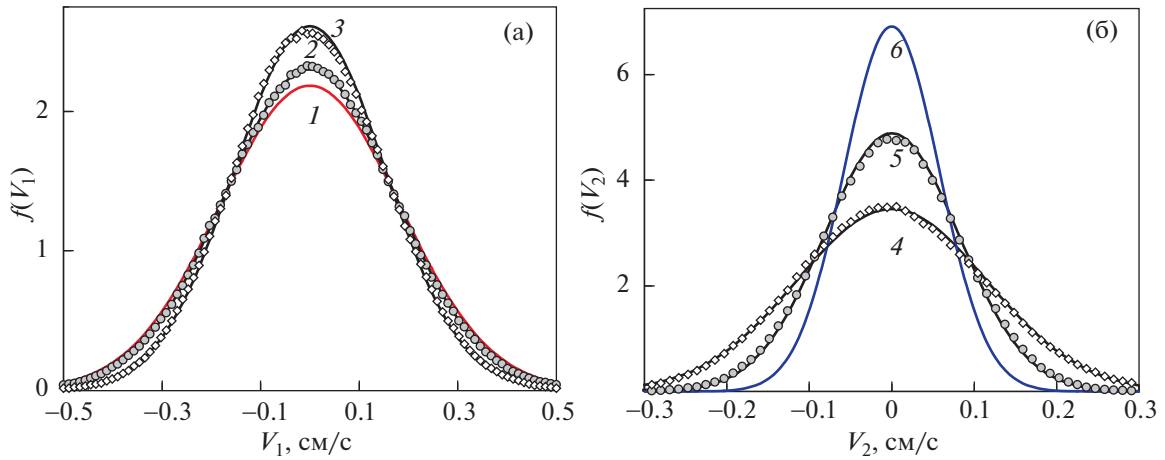
Численное исследование процессов энергетического обмена выполнялось методом молекулярной динамики Ланжевена для частиц, взаимодействующих с кулоновским потенциалом, в анизотропном электрическом поле ловушки с цилиндрической симметрией. Техника моделирования подробно описана в работах [1, 2].

Моделирование проводилось для двух отдельных частиц и для двумерных ансамблей с разделенными фракциями частиц разных размеров и температур (при  $g = 0$ ). Отношения масс,  $M_2/M_1$ , и отношения температур тепловых источников,  $T_2^0/T_1^0$  (или  $T_2^0/T_1^0$ ), для частиц различных фракций изменялись от одного до десяти. Заряды и коэффициенты трения задавались как  $Q_i \propto a_{di}$  и  $v_i \propto a_{di}^{-1}$ , соответственно;  $i = 1, 2$ . Отношение  $\omega_{1(2)}/v_{1(2)}$  варьировалось от  $\sim 0.7$  до  $\sim 7$ , где  $\omega_{1(2)} = (Q_{1(2)}^2/d^3 M_{1(2)})^{1/2}$ . Здесь для двумерных бинарных систем:  $d$  – среднее расстояние между частицами отдельной фракции. Число частиц в каждой из фракций ( $N_1, N_2$ ) менялось от 50 до 400.

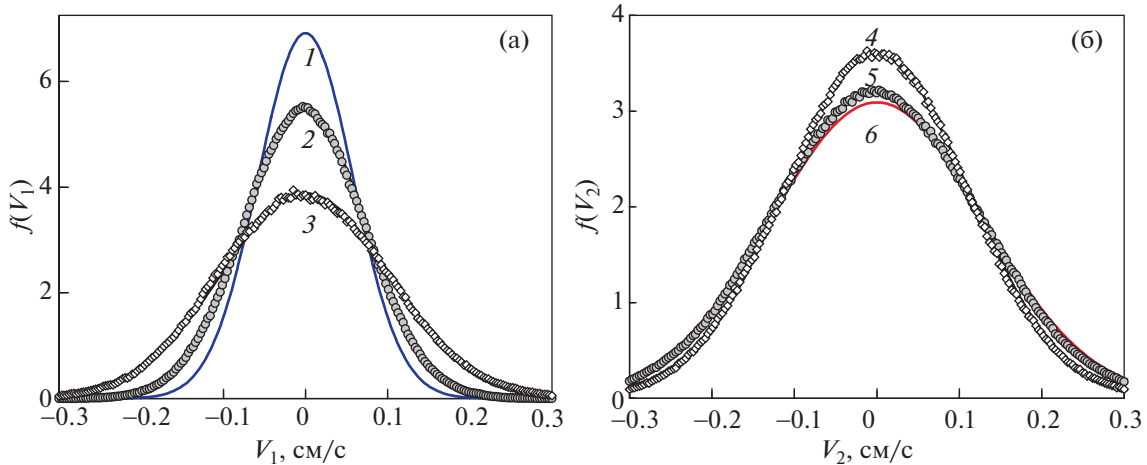
Температура тепловых источников  $T_{1(2)}^0$  варьировалась в пределах от  $\sim 0.2$  эВ до  $\sim 2$  эВ и задавалась одинаковой по степеням свободы:  $T_z^0 = T_x^0 = T_y^0$ . В процессе моделирования начальная стохастическая кинетическая энергия (энергия источников) перераспределялась от более “горячих” частиц к менее “горячим”. Во всех случаях наблюдаемые распределения скоростей частиц были близки к Максвелловским функциям. При этом для случая двух частиц фиксировалось неравномерное перераспределение энергий по степеням свободы  $T_z \neq T_x = T_y$ .

Иллюстрации отдельных результатов численных исследований для двух частиц при  $\beta_r/\beta_z = 4$ ,  $\omega_1/v_1 \approx 1.4$  и  $d \approx 0.1$  см представлены на рис. 5–7 совместно с аналитическими решениями задачи. Так на рис. 5 показаны функции распределения скоростей для двух идентичных частиц  $f_1(V_1)$  и  $f_2(V_2)$  в вертикальном и в радиальном направлениях для при  $T_1^0/T_2^0 = 10$ . Согласно результатам, представленным в разд. 2, полная энергия моделируемой системы не менялась  $(T_2 + T_1) = (T_2^0 + T_1^0)$ ,  $(\delta T_1 + \delta T_2) = 0$ .

На рис. 6, 7 оказаны функции  $f_1(V_1)$  и  $f_2(V_2)$  для  $M_2 = 2M_1$ ,  $Q_2/Q_1 = 2^{1/3}$ ,  $v_1/v_2 = 2^{1/3}$  при  $T_2^0/T_1^0 = 10$  и  $T_1^0/T_2^0 = 10$ , соответственно. В обоих случаях  $(\delta T_1 + \delta T_2) \neq 0$ . При этом для  $T_2^0/T_1^0 = 10$ , см. рис. 6, приращение энергии было отрицательным



**Рис. 5.** Функции распределения скоростей для двух частиц системы  $f_1(V_1)$  (а) и  $f_2(V_2)$  (б) в вертикальном и в радиальном направлениях при  $\beta_r/\beta_z = 4$  и  $M_1 = M_2$ . Символами обозначены результат численного моделирования, сплошными линиями функции Максвелла с температурами: 1 –  $T_1^0 = 2.08$  эВ; 2 –  $T_1^r \cong 1.87$  эВ; 3 –  $T_1^z \cong 1.46$  эВ; 4 –  $T_2^z \cong 0.83$  эВ; 5 –  $T_2^r \cong 0.416$  эВ; 6 –  $T_2^0 = 0.208$  эВ.



**Рис. 6.** Функции  $f_1(V_1)$  (а) и  $f_2(V_2)$  (б) в вертикальном и в радиальном направлениях при  $\beta_r/\beta_z = 4$  и  $M_2 = 2M_1$ . Символами обозначены результат численного моделирования, сплошными линиями функции Максвелла с температурами: 1 –  $T_1^0 = 0.208$  эВ; 2 –  $T_1^r \cong 0.33$  эВ; 3 –  $T_1^z \cong 0.66$  эВ; 4 –  $T_2^z \cong 1.53$  эВ; 5 –  $T_2^r \cong 1.94$  эВ; 6 –  $T_2^0 = 2.08$  эВ.

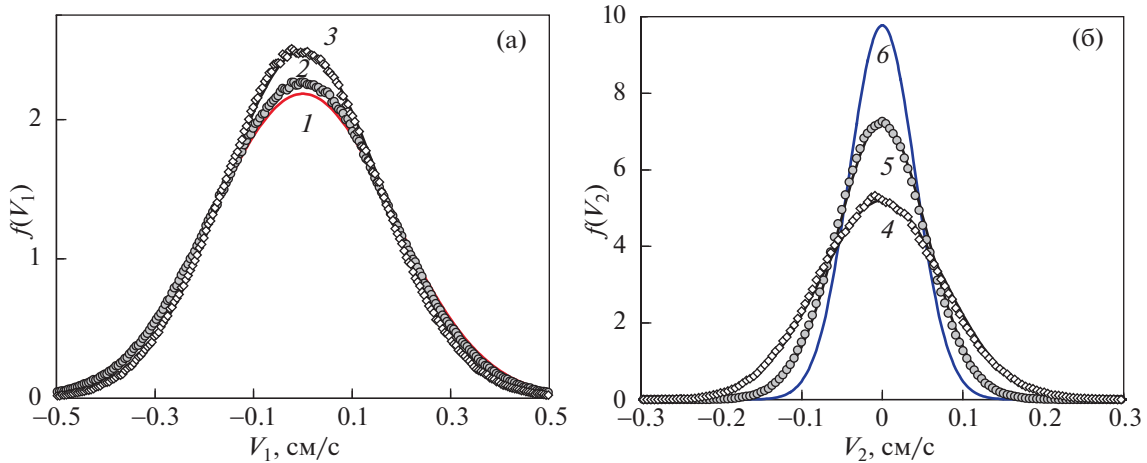
$(\delta T_1 + \delta T_2) < 0$ , а  $(T_2 + T_1)/(T_2^0 + T_1^0) \approx 0.97$ . Для случая  $T_1^0/T_2^0 = 10$ , см. рис. 7, приращение энергии было положительным  $(\delta T_1 + \delta T_2) > 0$ , а  $(T_2 + T_1)/(T_2^0 + T_1^0) \approx 1.02$ . Величина  $|\delta T_1/\delta T_2| \cong \cong v_2/v_1$ , см. формулы (10а), (10б).

Таким образом, результаты численного моделирования для двух частиц согласуются выводами, представленными в разд. 2. Функции распределения скоростей  $f_1(V_1)$  и  $f_2(V_2)$  полностью соответствовали их температурам, найденным из аналитических соотношений.

Перейдем к двумерным ансамблям, состоящим из двух разделенных фракций частиц разно-

го размера. Частицы в моделируемых системах находились под воздействием электрических сил ловушки,  $F_E \propto a_d$ , и сторонних сил  $F_{T(i)} \propto a_d^2$ , направленных противоположно силе  $F_E$ . Здесь мы рассматриваем упомянутые силы только в первом (линейном) приближении. Поскольку основным предметом исследований является баланс энергии, а подробный анализ природы сил, механизмов и условий разделения частиц по размерам выходит за рамки настоящей работы.

Расчеты проводились для различных соотношений  $|F_{T(i)}/F_E|$ , которые варьировались от 5% до 25% для мелких частиц, и от 10% до ~30% для крупных частиц, соответственно, в зависимости



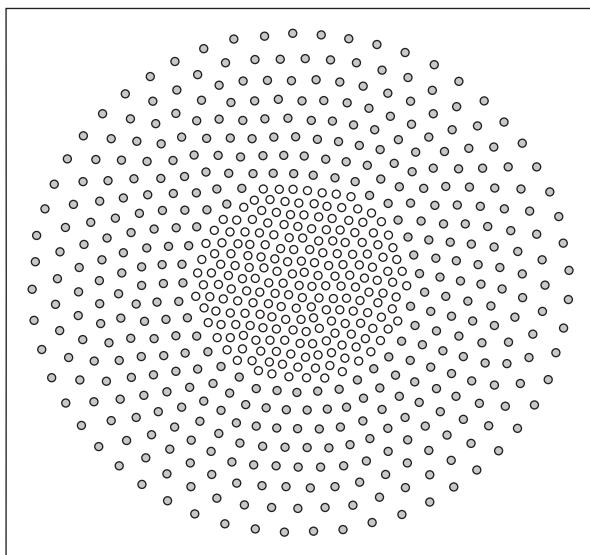
**Рис. 7.** Функции  $f_1(V_1)$  (а) и  $f_2(V_2)$  (б) в вертикальном и в радиальном направлениях при  $\beta_r/\beta_z = 4$  и  $M_2 = 2M_1$ . Символами обозначены результат численного моделирования, сплошными линиями функции Максвелла с температурами:  $1 - T_1^0 = 2.08$  эВ;  $2 - T_1^r \cong 1.93$  эВ;  $3 - T_1^z \cong 1.6$  эВ;  $4 - T_2^z \cong 0.735$  эВ;  $5 - T_2^r \cong 0.38$  эВ;  $6 - T_2^0 = 0.208$  эВ.

от отношения размеров крупных и мелких частиц. При этом отношение градиентов  $\nabla F_1/\nabla F_2$  суммарных сил,  $F_{1(2)}$ , действующих на частицы изменялось от  $\sim 1.05$  до  $\sim 1.2$ . Во всех случаях наблюдалось заметное разделение системы по фракциям и более крупные частицы находились на оболочке двумерного облака, см. рис. 8.

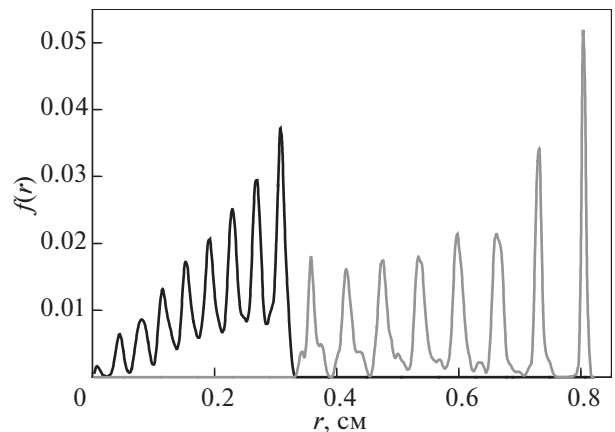
На рис. 9, 10 показаны результаты численного моделирования для частиц с параметрами, близкими к параметрам экспериментов в условиях микрогравитации [21, 22]:  $M_2/M_1 = 8$ ,  $Q_2/Q_1 = 2$ ,  $v_1/v_2 = 2$ ,  $T_1^0 + T_2^0 = 4$  при  $\nabla F_1/\nabla F_2 \sim 1.1$ . Средние

расстояния между частицами крупной фракции составляли  $d \approx 0.07$  см, между легкими частицами –  $d \approx 0.035$  см. Отношение  $\omega_1/v_1 \sim 6.8$ ,  $\omega_2/v_2 \sim 3.4$ , где  $\omega_{1(2)} = (Q_{1(2)}^2/d^3 M_{1(2)})^{1/2}$ . На рис. 9 показана вероятность,  $f(r)$ , нахождения частиц различной массы  $M_{1(2)}$  на расстояниях,  $r$ , от центра ловушки, а на рис. 10 представлена радиальная зависимость их кинетических температур,  $T(r)$ .

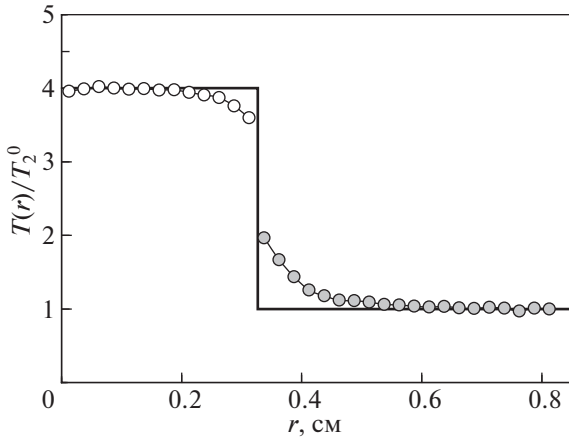
Результаты исследования баланса энергии в системе частиц, состоящей из двух фракций, представлены на рис. 11–14 для случая  $M_2/M_1 = 2$ ,  $Q_2/Q_1 = 2^{1/3}$ ,  $\nabla F_1/\nabla F_2 \sim 1.1$ ,  $v_1/v_2 = 2^{1/3}$  при  $v_1 = 5$  с $^{-1}$  ( $\omega_1/v_1 \sim 5.6$ ,  $\omega_2/v_2 \sim 4.5$ ) и  $v_1 = 10$  с $^{-1}$  ( $\omega_1/v_1 \sim 2.8$ ,  $\omega_2/v_2 \sim 2.25$ ).



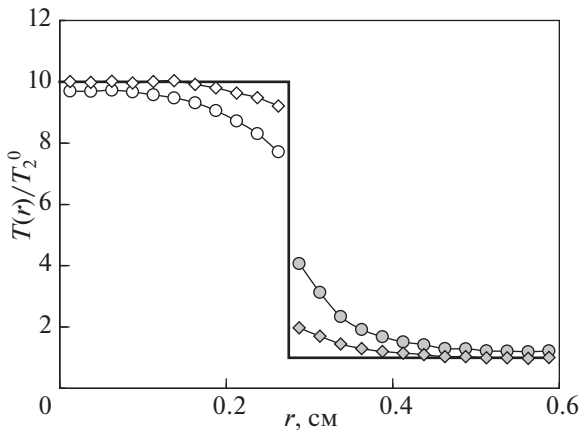
**Рис. 8.** Иллюстрация положений частиц в двумерной системе при  $N = 600$  ( $N_1 = 200$ ,  $N_2 = 400$ ). Белыми символами показаны частицы массой  $M_1$ , серыми – массой  $M_2 = 2M_1$ .



**Рис. 9.** Вероятность нахождения частиц  $f(r)$  разной массы  $M_1$  (черная линия) и  $M_2$  (серая линия) на разных расстояниях,  $r$ , от центра ловушки ( $M_2/M_1 = 8$ ,  $T_1/T_2 = 4$ ).



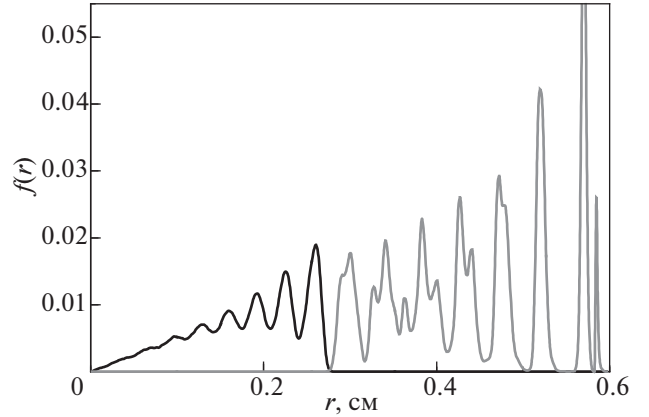
**Рис. 10.** Зависимость отношения кинетических температур  $T(r)/T_2^0$  для частиц разной массы  $M_1$  (белые символы –  $T_1(r)/T_2^0$ ) и  $M_2$  (серые символы –  $T_2(r)/T_2^0$ ) от расстояния,  $r$ , до центра ловушки ( $M_2/M_1 = 8$ ,  $T_1^0/T_2^0 = 4$ ,  $v_1/v_2 = 2$ ). Сплошная черная линия показывает заданные температуры частиц и границу раздела фракций.



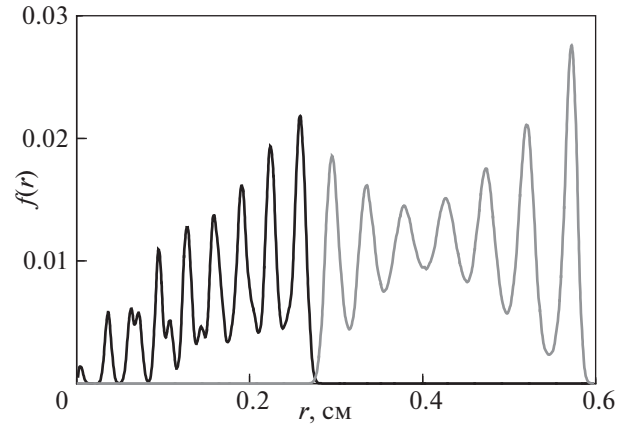
**Рис. 12.** Функция  $T(r)/T_2^0$  для частиц разной массы при  $M_2/M_1 = 2$ ,  $T_1^0/T_2^0 = 10$ ,  $v_1/v_2 = 2^{1/3}$ : белые символы –  $T_1(r)/T_2^0$ ; серые символы –  $T_2(r)/T_2^0$ . (Кружки –  $v_1 = 5 \text{ c}^{-1}$ ; ромбы –  $v_1 = 10 \text{ c}^{-1}$ .) Сплошная черная линия показывает заданные температуры частиц и границу раздела фракций.

Так на рис. 11, 12 показана вероятность,  $f(r)$ , нахождения частиц различной массы на разных расстояниях,  $r$ , от центра ловушки и радиальная зависимость их кинетических температур,  $T(r)$ , при  $T_1^0 - T_2^0 = 10$ . А на рис. 13, 14 представлены функции  $f(r)$  и  $T(r)$  для случая  $T_2^0 - T_1^0 = 10$ .

Анализ результатов численного моделирования для двумерных ансамблей частиц показал, что вдоль линий раздела двух фракций, когда



**Рис. 11.** Функция  $f(r)$  для частиц разной массы  $M_1$  (черная линия) и  $M_2$  (серая линия) при  $M_2/M_1 = 2$ ,  $T_1/T_2 = 10$ .



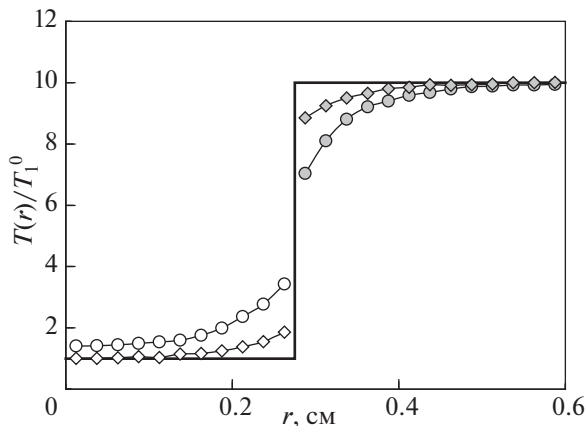
**Рис. 13.** Функция  $f(r)$  для частиц разной массы  $M_1$  (черная линия) и  $M_2$  (серая линия) при  $M_2/M_1 = 2$ ,  $T_2/T_1 = 10$ .

$|\delta T_{1(2)}/T_{1(2)}| > 3\%$  (т.е. ошибок численного эксперимента), величина отношения  $|\delta T_1(r)/\delta T_2(r)| = |(T_1(r) - T_1^0)/(T_2(r) - T_2^0)| \approx v_2/v_1$ , см. рис. 10, 12, 14; где  $r$  – расстояние до центра ловушки. При этом дополнительная энергия  $\delta T_{1(2)} \propto \Delta T = T_2^0 - T_1^0$ , и уменьшалась с ростом  $v_{1(2)}$ , см. рис. 12, 14.

#### 4. ЗАКЛЮЧЕНИЕ

Выполнено исследование процессов энергетического обмена в диссипативных системах неидентичных взаимодействующих частиц (имеющих различные массы, размеры, заряды) с неоднородным распределением источников тепла и/или любых других источников стохастической кинетической энергии. Рассмотрены теоретиче-





**Рис.14.** Функция  $T(r)/T_1^0$  для частиц разной массы при  $M_2/M_1 = 2$ ,  $T_2^0/T_1^0 = 10$ ,  $v_1/v_2 = 2^{1/3}$ : белые символы –  $T_1(r)/T_1^0$ ; серые символы –  $T_2(r)/T_1^0$ . (Кружки –  $v_1 = 5 \text{ с}^{-1}$ ; ромбы –  $v_1 = 10 \text{ с}^{-1}$ .) Сплошная черная линия показывает заданные температуры частиц и границу раздела фракций.

ская модель для анализа энергетического баланса в таких системах и аналитические соотношения, описывающие перераспределение стохастической кинетической энергии между двумя неидентичными частицами. Предложенные соотношения проверены путем численного моделирования задачи для систем из двух частиц с кулоновским взаимодействием.

Выполнен численный анализ процессов перераспределения энергии в двумерных ансамблях неидентичных частиц, состоящих из двух отдельных фракций, формирующихся в электрических полях ловушки ( $F_E \propto a_d$ ) под воздействием дополнительных сил пропорциональных квадрату радиуса частиц ( $F_{T(1)} \propto a_d^2$ ), например, термофоретических сил, или сил ионного увлечения.

Результаты настоящей работы применимы для систем с любым типом попарных (взаимных) взаимодействий и могут быть полезны для анализа энергетического обмена в неоднородных системах, которые представляют интерес в физике плазмы, физике полимеров и коллоидных систем.

Данная работа частично поддержана Российским фондом фундаментальных исследований (грант № 18-38-20175), а также Программой Президиума РАН.

### СПИСОК ЛИТЕРАТУРЫ

1. Ваулина О.С., Петров О.Ф., Фортвов В.Е., Храпак А.Г., Храпак С.А. Пылевая плазма (эксперимент и теория). М.: Физматлит, 2009.
2. Complex and Dusty Plasmas / Ed. by Fortov V.E. and Morfill G.E., CRC Press (2010).

3. Ivlev A., Morfill G., Lowen H., Royall C.P. Complex Plasmas and Colloidal Dispersions: Particle-Resolved Studies of Classical Liquids and Solids. Singapore: World Scientific, 2012.
4. Photon Correlation and Light Beating Spectroscopy / Edited by H. Z. Cummins and E. R. Pike, Plenum, New York (1974).
5. Овчинников А.А., Тимашев С.Ф., Белый А.А. Кинетика диффузионно-контролируемых химических процессов. М.: Химия, 1986.
6. Филиппов А.В., Дербенев И.Н. // ЖЭТФ 2016. Т. 150. С. 1262.
7. Ваулина О.С. // ЖЭТФ 2016. Т. 149. С. 218.
8. Ваулина О.С. // ЖЭТФ 2017. Т. 151. С. 982.
9. Герасимов Ю.В., Неведов А.П., Синельщиков В.А., Фортвов В.Е. // Письма в ЖТФ. 1998. Т. 24. С. 62.
10. Fortov V.E., Nefedov E.A., Sinel'shchikov V.A., Usachev A.D., Zobnin A.V. // Phys. Lett. A. 2000. V. 267. P. 179.
11. Vaulina O.S., Vasilieva E.V., Petrov O.F., Fortov V.E. // Physica Scripta 2011. V. 84. P. 025503.
12. Aschinger A., Winter J. // New Journal of Physics 2012. V. 14. P. 093036.
13. Райзер Ю.П. Физика газового разряда. М.: Наука, 1987.
14. Vaulina O.S., Khrapak S.A., Petrov O.F., Nefedov A.P. // Phys. Rev. E. 1999. V. 60. P. 5959.
15. Quinn R.A. and Goree J. // Phys. Rev. E. 2000. V. 61. P. 3033.
16. Vaulina O.S., Khrapak S.A., Samaritan A.A., Petrov O.F. // Phys. Scripta 2000. T84. P. 229.
17. Ваулина О.С., Неведов А.П., Петров О.Ф., Фортвов В.Е. // ЖЭТФ. 2000. Т. 118. С. 1319.
18. Ваулина О.С., Самарян А.А., Петров О.Ф., Джеймс Б., Меландсо Ф. // Физика плазмы 2004. Т. 30. С. 698.
19. Vaulina O.S. // EPL 2016. V. 115. P. 10007.
20. Псахье С.Г., Зольников К.П. // Физическая мезомеханика 2008. Т. 11. С. 39.
21. Morfill G.E., Thomas H.M., Konopka U., Rothermel H., Zuzic M., Ivlev A., Goree J. // Phys. Rev. Lett. 1999. V. 83. P. 1598.
22. Thomas H.M. and Morfill G.E. // Contrib. Plasma Phys. 2001. V. 41. P. 255.
23. Лифшиц Е.М., Питаевский Л.П. Физическая кинетика. М.: Наука, 1979.
24. Ваулина О.С., Лисина И.И., Косс К.Г. // Физика плазмы 2013. Т. 39. С. 455.
25. Lisina I.I., Vaulina O.S. // EPL. 2003. V. 103. P. 55002.
26. Ваулина О.С., Адамович К.Г., Дранжневский И.Е. // Физика плазмы. 2005. Т. 31. С. 562.
27. Vaulina O.S., Adamovich X.G., Vladimirov S.V. // Phys. Scr. 2009. V. 79. P. 035501.
28. Саметов Э.А., Лисин Е.А., Ваулина О.С. // ЖЭТФ. 2020.
29. Саметов Э.А., Лисин Е.А., Ваулина О.С. // Вестник ОИВТ. 2019. Т. 2. С. 33.
30. Vaulina O.S. // Physics of Plasmas. 2017. V. 24. P. 023705.
31. Ваулина О.С. // ЖЭТФ. 2017. Т. 151. С. 982.